

地下埋設式 200kg 縦型バルク貯槽の発生能力

付表 1.4, 付図 1.4 200kg 縦型, 充填時組成 C_3H_8 : 95mol%, 地中温度: 10°C, 充填時液温: 10°C

付表 1.5, 付図 1.5 200kg 縦型, 充填時組成 C_3H_8 : 95mol%, 地中温度: 5°C, 充填時液温: 5°C

付表 1.6, 付図 1.6 200kg 縦型, 充填時組成 C_3H_8 : 95mol%, 地中温度: 0°C, 充填時液温: 0°C

付表 1.4 200kg 縦型, 充填時組成 C_3H_8 : 95mol%, 地中温度: 10°C, 充填時液温: 10°C

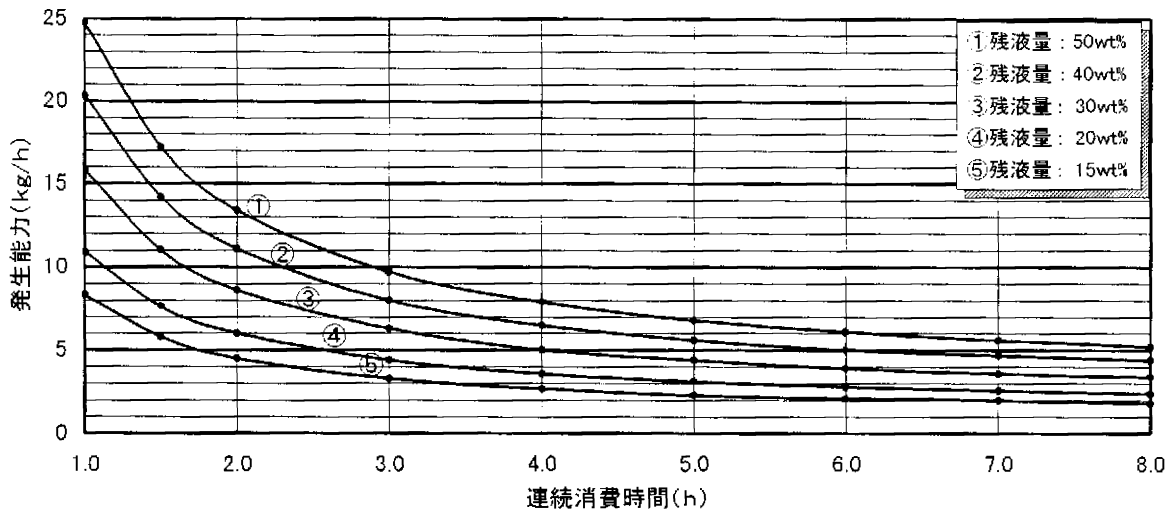
充填時液相 プロパン分 (mol%)	地中 温度 (°C)	充填 液温 (°C)	連続消 費時間 (h)	残液量15wt%		残液量20wt%		残液量30wt%		残液量40wt%		残液量50wt%	
				開始 (°C)	発生能力 (kg/h)	開始 (°C)	発生能力 (kg/h)	開始 (°C)	発生能力 (kg/h)	開始 (°C)	発生能力 (kg/h)	開始 (°C)	発生能力 (kg/h)
95	10	10	1.0	-2	8.3	1	10.9	5	15.8	7	20.3	8	24.7
			1.5	-2	5.8	1	7.6	5	11.0	7	14.2	8	17.2
			2.0	-2	4.5	1	6.0	5	8.6	7	11.1	8	13.4
			3.0	-2	3.3	1	4.4	5	6.3	7	8.0	8	9.7
			4.0	-2	2.7	1	3.6	4	5.0	6	6.5	8	7.9
			5.0	-3	2.3	0	3.1	4	4.4	6	5.6	7	6.8
			6.0	-3	2.1	0	2.8	4	3.9	6	5.0	7	6.1
			7.0	-3	2.0	0	2.6	4	3.6	6	4.7	7	5.6
8.0	-4	1.8	-1	2.4	3	3.4	6	4.4	7	5.2			

付表 1.5 200kg 縦型, 充填時組成 C_3H_8 : 95mol%, 地中温度: 5°C, 充填時液温: 5°C

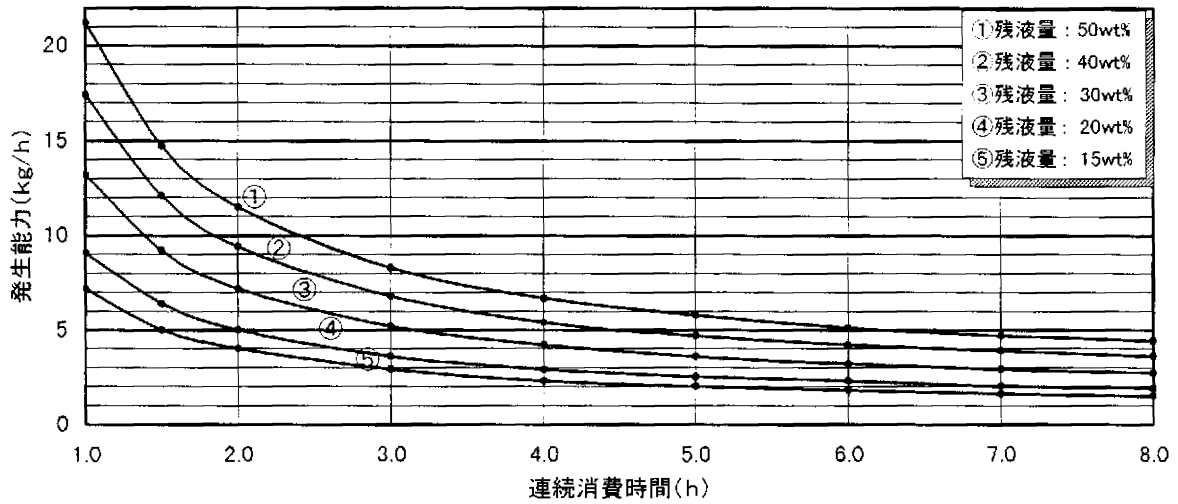
充填時液相 プロパン分 (mol%)	地中 温度 (°C)	充填 液温 (°C)	連続消 費時間 (h)	残液量15wt%		残液量20wt%		残液量30wt%		残液量40wt%		残液量50wt%	
				開始 (°C)	発生能力 (kg/h)	開始 (°C)	発生能力 (kg/h)	開始 (°C)	発生能力 (kg/h)	開始 (°C)	発生能力 (kg/h)	開始 (°C)	発生能力 (kg/h)
95	5	5	1.0	-4	7.2	-4	9.1	-2	13.2	1	17.4	2	21.2
			1.5	-4	5.0	-4	6.4	-2	9.2	1	12.1	2	14.7
			2.0	-4	4.0	-4	5.0	-2	7.2	1	9.4	2	11.5
			3.0	-4	2.9	-5	3.6	-2	5.2	1	6.8	2	8.3
			4.0	-5	2.3	-5	2.9	-2	4.2	0	5.4	2	6.7
			5.0	-6	2.0	-5	2.5	-3	3.6	0	4.7	2	5.8
			6.0	-6	1.8	-5	2.3	-3	3.2	0	4.2	1	5.1
			7.0	-7	1.6	-6	2.0	-4	2.9	0	3.9	1	4.7
8.0	-7	1.5	-7	1.9	-4	2.7	-1	3.6	1	4.4			

付表 1.6 200kg 縦型, 充填時組成 C_3H_8 : 95mol%, 地中温度: 0°C, 充填時液温: 0°C

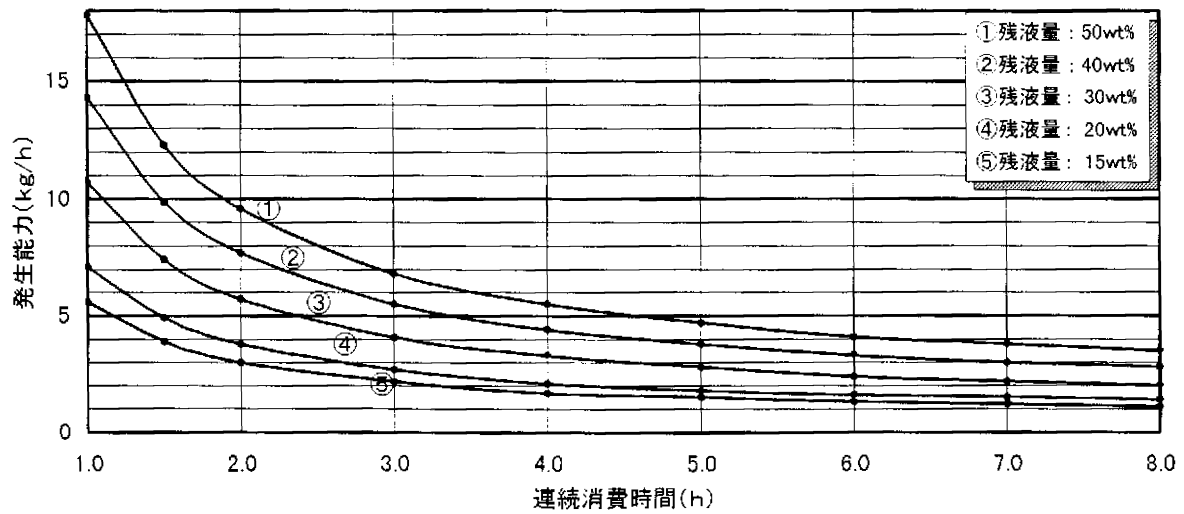
充填時液相 プロパン分 (mol%)	地中 温度 (°C)	充填 液温 (°C)	連続消 費時間 (h)	残液量15wt%		残液量20wt%		残液量30wt%		残液量40wt%		残液量50wt%	
				開始 (°C)	発生能力 (kg/h)	開始 (°C)	発生能力 (kg/h)	開始 (°C)	発生能力 (kg/h)	開始 (°C)	発生能力 (kg/h)	開始 (°C)	発生能力 (kg/h)
95	0	0	1.0	-10	5.6	-12	7.1	-9	10.7	-6	14.3	-4	17.8
			1.5	-10	3.9	-12	4.9	-9	7.4	-6	9.9	-4	12.3
			2.0	-11	3.0	-12	3.8	-9	5.7	-6	7.7	-4	9.6
			3.0	-11	2.2	-13	2.7	-10	4.1	-6	5.5	-4	6.8
			4.0	-12	1.7	-13	2.1	-10	3.3	-6	4.4	-4	5.5
			5.0	-12	1.5	-13	1.8	-10	2.8	-6	3.8	-5	4.7
			6.0	-12	1.3	-13	1.6	-11	2.4	-7	3.3	-5	4.1
			7.0	-12	1.2	-13	1.5	-11	2.2	-7	3.0	-5	3.8
8.0	-13	1.1	-13	1.4	-12	2.0	-8	2.8	-6	3.5			



付図1.4 200kg縦型, 充填時組成 C_3H_8 : 95mol%, 地中温度: $10^{\circ}C$, 充填時温度: $10^{\circ}C$



付図1.5 200kg縦型, 充填時組成 C_3H_8 : 95mol%, 地中温度: $5^{\circ}C$, 充填時温度: $5^{\circ}C$



付図1.6 200kg縦型, 充填時組成 C_3H_8 : 95mol%, 地中温度: $0^{\circ}C$, 充填時温度: $0^{\circ}C$